

Магнитные свойства и фазовый состав тонких пленок сплавов системы $\text{Co}_{50}\text{Pt}_{50}$, и $\text{Co}_{50}\text{Pt}_{50-x}\text{Pd}_x$

Е. М. Артемьев¹, А.Е.Бузмаков¹, В.С.Цикалов¹, Л.Е.Якимов²

¹Сибирский федеральный университет, ²Сибирский государственный аэрокосмический университет им. М.Ф. Решетнева, Красноярск e-mail-aem49@yandex.ru

Получены пленки сплава $\text{Co}_{50}\text{Pt}_{50}$ и пленки $\text{Co}_{50}\text{Pt}_{50-x}\text{Pd}_x$ где $x=10-3$ ат. %. Исследованы процессы атомного упорядочения и его влияния на перпендикулярную магнитную анизотропию в данных пленках. Показано, что тонкие пленки упорядоченных сплавов становятся магнитоодноосными с легкой осью нормальной к их плоскости, и могут быть использованы для термомагнитной записи и хранения информации.

Одной из причин интенсивных исследований металлов и сплавов в пленочном состоянии является возможность стабилизации метастабильных структур и высокотемпературных модификаций [1]. Пленочные образцы позволяют исследовать метастабильные состояния вещества как при обычных условиях, так и после изменения их в довольно широких интервалах. Предлагаемая работа посвящена исследованию структуры и магнитных свойств в пленках $\text{Co}_{50}\text{Pt}_{50}$ и пленок $\text{Co}_{50}\text{Pt}_{50-x}\text{Pd}_x$ где $x = 10-3$ ат. %.

Пленки получали методом магнетронного напыления из исходных чистых элементов на стеклянные основы и MgO и методом термического испарения сплава соответствующего состава в вакууме и конденсации его паров на предварительно нагретые до $180-220^\circ\text{C}$ кристаллы- подложки MgO , LiF и стеклянные основы. Состав и толщина контролировались методом рентгеновского флуоресцентного анализа.

В работе исследовались пленки толщиной 100-600Å. Полученные данными методами пленки имели ГЦК решетку. Монокристаллические пленки выращенные на кристаллах подложках MgO и LiF имели ГЦК решетку ориентированную относительно подложки по параллельной схеме. Для получения в пленках необходимой степени порядка пленки подвергались отжигу в вакууме при температуре ниже их точки Курнакова. После отжига в пленках $\text{Co}_{50}\text{Pt}_{50}$ и $\text{Co}_{50}\text{Pt}_{50-x}\text{Pd}_x$ наблюдается образование упорядоченной фазы типа $L1_0$ (тетрагональная гранецентрированная решетка с соотношением осей $c/a < 1$), причем ориентация тетрагональных кристаллитов относительно плоскости пленки зависит от ее толщины. В пленках толщиной 100-300Å кристаллиты тетрагональной фазы ориентируются осью $\langle c \rangle$ нормально плоскости пленки (на электронограмме отсутствуют рефлексы типа $\{100\}$). В пленках, имеющих большие толщины (с тремя ориентациями осей $\langle c \rangle$), наблюдаются участки с чередованием полос разного контраста по направлениям $[100]$. При образовании в пленках упорядоченной тетрагональной фазы магнитная анизотропия пленок претерпевает существенные изменения. Поскольку ось «с» тетрагональных фаз $\text{Co}_{50}\text{Pt}_{50}$ и $\text{Co}_{50}\text{Pt}_{50-x}\text{Pd}_x$ является осью легкого намагничивания, то тонкие пленки упорядоченных сплавов становятся магнитоодноосными с легкой осью, нормальной к их плоскости. Значения константы магнитной кристаллографической анизотропии $(4-4,5)10^7$ эрг/см³ для пленок $\text{Co}_{50}\text{Pt}_{50}$

и $(3,5-4)10^7$ эрг/см³ для $Co_{50}Pt_{50-x}Pd_x$. Эти значения превосходят величину анизотропии формы и пленки остаются однородно намагниченными перпендикулярно их плоскости в отсутствие внешнего магнитного поля и могут быть использованы для термомагнитной записи и хранения информации [2]. Пленки однородны по структуре, в некоторых из них наблюдаются редкие антифазные границы упорядочения (АФГ).

При переходе к темнопольному изображению контраст крупных полос не меняется, а контраст мелких полос меняется на обратный. Можно считать, что крупные полосы – это отдельные кристаллиты тетрагональной фазы, образовавшиеся в виде тонких пластин. Мелкий полосчатый контраст от АФГ. С повышением содержания палладия коэрцитивная сила (H_c) пленок $Co_{50}Pt_{50-x}Pd_x$ постепенно уменьшается и при содержании палладия 7-8 ат.% составляет 6-9 кЭ.

На исследованных пленках запись информации производилась путем нагревания участков пленки до температуры Кюри сплавов. Нагревание осуществлялось сфокусированным лучом лазера. Поскольку у данных пленок ось легкого намагничивания перпендикулярна плоскости пленки, для записи не требуется приложения внешнего магнитного поля, так как замыкание собственного магнитного потока пленки через нагретый участок приводит к намагничиванию его в противоположном направлении.

Плотность энергии записи или разрушения для материала пленки может быть рассчитана [3]. В расчет принимаются : теплоемкость

материала, температура записи или разрушения, коэффициент оптического поглощения. Рассчитанная плотность энергии записи для пленок сплава $\text{Co}_{50}\text{Pt}_{50}$ толщиной 500Å равна - $0,065\text{ мДж/мм}^2$, для пленок $\text{Co}_{50}\text{Pt}_{50-x}\text{Pd}_x$ - $0,057\text{ мДж/мм}^2$. В данном случае в расчет не приняты оптические потери системы и энергия, ушедшая на нагревание среды вокруг непосредственно нагреваемого участка. Плотность энергии записи, измеренная на пленках толщиной 500 Å , равна для $\text{Co}_{50}\text{Pt}_{50}$ - $0,5\text{ мДж/мм}^2$, для $\text{Co}_{50}\text{Pt}_{50-x}\text{Pd}_x$ - $0,4\text{ мДж/мм}^2$.

Прослеживается влияние на H_C таких структурных факторов как степень дальнего порядка в сплаве, размер и ориентация кристаллитов в пленке после термообработки. Степень дальнего порядка оценивалась по отношению осей с/а. Кроме того, для пленок были сняты спектральные зависимости фарадеевского вращения (рис.1) и оптического поглощения. Оказалось, что у всех пленок минимум фарадеевского вращения приходится на область длин волн $0,4-0,5\text{ мкм}$, а максимум - на ближнюю инфракрасную область $0,9-1,2\text{ мкм}$.

Удельное фарадеевское (F) вращение зависит от толщины пленок. Наибольшее удельное вращение имеют пленки $\text{Co}_{50}\text{Pt}_{50}$ толщиной $100-130\text{Å}$, для таких пленок F достигает значения 9×10^5 град/см на длине волны $\lambda=1,2\text{ мкм}$. В более толстых пленках удельное вращение уменьшается.

Данное отличие следует отнести за счет появления в более толстых пленках кристаллитов тетрагональной фазы, ориентированных осью $\langle c \rangle$ в

плоскости пленок. В связи с этим полное техническое насыщение пленки вдоль ее нормали требует приложения больших полей. Коэффициент оптического поглощения не зависит от длины волны и толщины пленок и лежит в пределах $(1,0-1,5)10^5 \text{ см}^{-1}$.

Зависимость магнитооптической добротности от длины волны и толщины пленок приведена на рис.2 . Видно что она носит тот же характер ,что и удельное фарадеевское вращение.

Проведенные исследования позволяют сделать вывод, что магнитные характеристики пленок $\text{C}_{50}\text{Pt}_{50-x}\text{Pd}_x$ при изменении содержания палладия 10-3 ат. % позволяют их использовать в качестве сред для термомагнитной записи и хранения информации. Следует указать на большую химическую стойкость пленок сплавов; пленки без покрытия могут храниться на воздухе в течение нескольких лет, характеристики пленок при этом не изменяются.

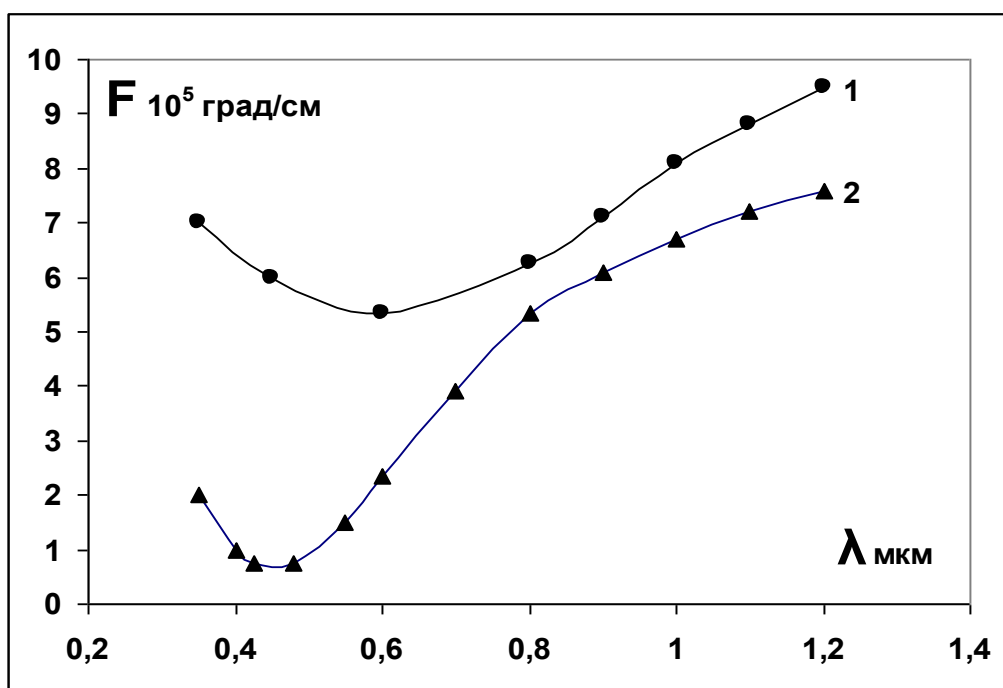


Рис. 1 Спектральная зависимость удельного фарадеевского вращения для пленок $\text{Co}_{50}\text{Pt}_{50}$ (1) и $\text{Co}_{50}\text{Pt}_{42}\text{Pd}_8$ (2). Кривые 1 и 2 сняты для пленок толщиной 500 Å.

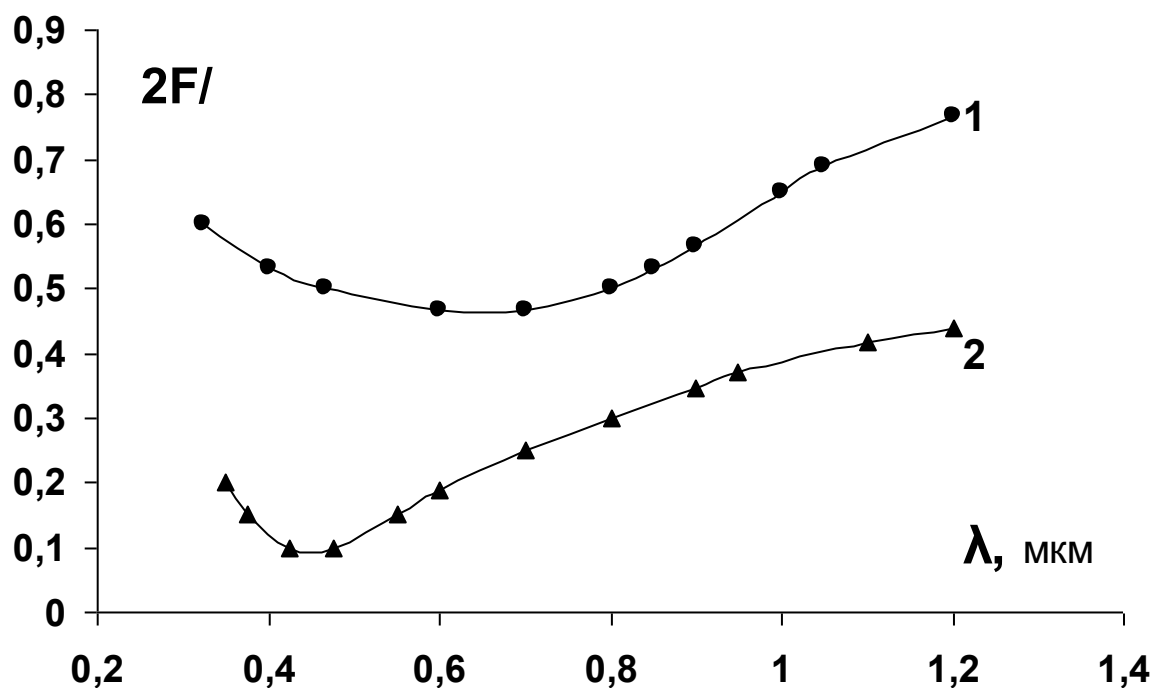


Рис. 2 Спектральная зависимость магнитооптической добротности пленок сплавов $\text{Co}_{50}\text{Pt}_{50}$ (1) и $\text{Co}_{50}\text{Pt}_{42}\text{Pd}_8$ (2). Кривые 1 и 2 сняты для пленок толщиной 500 Å.

СПИСОК ЛИТЕРАТУРЫ

1. Исхаков Р.С., Столяр С.В., Чеканова Л.А., Артемьев Е.М. и др.// Письма в ЖЭТФ. 2000. Т. 72. Вып. 6. С.457.
2. Артемьев Е.М., Бузмаков А.Е. Патент RU №2293377 С1 Сплав для носителя термомагнитной записи. Приоритет 8 июля 2005 г.
3. Коген С., Мецрих Р. Зарубежная радиоэлектроника № 11, 1973.